

大阪大学工学部 正員 室田 明
大阪大学工学部 正員 ○多田重登

1. はじめに：有田川上流域では(Fig.1)昭和28年災により $2 \times 10^7 m^3$ の崩壊土砂が生産された。高野谷においては、昭和32年に渠間工砂利貯留量は $4.9 \times 10^5 m^3$ と推定されている。¹⁾昭和48年の筆者らの砂防ダム堆砂量調査では、河道の約7/3の区間にあり、約 $1.2 \times 10^5 m^3$ の工砂貯留が推定された。オーダー的には当時同支谷に堆積した工砂は20年経過後もほとんど貯留されていなかった。この様に大粒径を含む土砂の移動は支谷流路で大きな時間遅れを伴なうことが予想される。一方、有田川扇子川河道のNo.13断面(Fig.1参考)における横断測量の結果によれば(Fig.2)，昭和47年9月と同10月の断面に $25.5 m^3$ の堆積、 $5.0 m^3$ の死堀がみられた。これは同年9月16日、226 mm(高野山)の一雨による土砂移動の結果であろうと思われる。大きな工砂移動が想像される。この様な山地小流域における土砂移動の解析を河道係数モデルから試みた例を報告するものである。

2. 流域モデル：山地河川の工砂移動を解析する場合、支谷河道の様な小流域の流量頻度等が必要である。しかし対象流域をちぎり小流域にまで分割するか地形等のパラメーターのばらつきが大きくなり、また更に複雑なパラメーター(植生、流路、斜面の不整など)が必要となり、精度・計算時間の面で不利となる。むしろ単純な流域オーダーモデルの組合せから各オーダーの降雨流出、工砂移動を検討するのが実際的であろう。

本流域は地形地質的にはほぼ homogeneous であると思われ、1/25,000地形図、流域踏査等からTable-1のようなオーダー分類を読みやすくして流出モデルを検討した。以下同表の記号を用いる。O(0)には通常河道はない。降雨流出は中間流と表面流からなる。O(1), O(2)は河道を全て実測することは不可能でありばらつきも下すいからモデル的に河道を表現せねばならない。O(3), O(4)は堤などによつて固定されていて実測資料を得ることができ。揚流量公式の適用範囲は通常この領域であり、O(1), O(2)は限界掃流力のみが適用できる。特にO(1)は突発的な土石流による大量の流逝が起る。O(0)は豪雨による突発的な山腹崩壊、通常の降雨での裸地の表面浸食による工砂生産の場である。

O(0)における最もシンプルなパラメーターとして、地形:斜面傾斜角 θ_0 、斜面長 l_0 、地質:および風化度:透水係数 k 、空隙率 ϵ 、風化層厚 h_0 を考える。模式的にFig.3に示している。飽和浸透進行速度は空隙空気圧を無視すると、 $v = k \cos \theta_0 / \epsilon$ ……(1) で表わされ

る。風化層中の流れはDarcy則に従い、 $\sin \theta_0 \gg h$ として、連続式とともに

$$g = k \sin \theta_0 \cdot h \quad \dots \dots (2), \quad g_x + \epsilon h_t = \epsilon \dots \dots (3)$$

ここに g : 単位幅流量、 h : 飽和水深、添字 x, t は偏微分を表す。最上流端水深 h_0 は $h = 0$ で $h = h_0$ とする。

$$h^u = \frac{C}{E} \left\{ \frac{1}{2} \epsilon C^2 dt + h_0 \right\} \quad \dots \dots (4)$$

$$C = \frac{k \sin \theta_0}{E} \quad \dots \dots (5)$$

Fig.2 No.13 横断面図

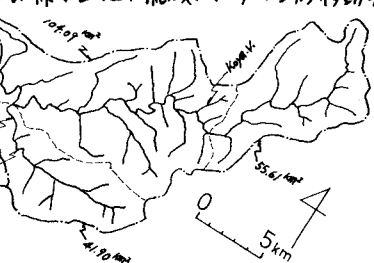


Fig.1 有田川上流域

Table-1

オーダー	勾配範囲
O(0)	山腹斜面
O(1)	渓谷流路
O(2)	支谷流路
O(3)	主川流路
O(4)	本川

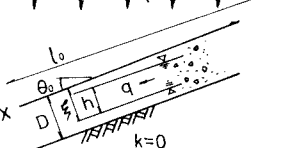


Fig.3 山腹斜面模式図

任意断面の水位は特性表示で次の様に表わされる。

$$\frac{dx}{dt} = C \quad \dots (6) \quad \text{ここで } h = h_0 + \int_{t_0}^t \frac{dx}{dt} dt \quad \dots (7)$$

以上 $k > r \cos \theta_0$ のとき $\bar{k} = r \cos \theta_0$, $k \leq r \cos \theta_0$ のとき $\bar{k} = k$ となる。表面流は、

$k < r \cos \theta_0$ のとき $\bar{v}_u = r \cos \theta_0 - k$, $h = \bar{v}_u t$ で $h = D$ より下流域では $\bar{v}_u = r \cos \theta_0$ と

Manning 則と連続式は次の様になる。

$$h' = K_0 g'^{P_0} \quad \dots (9), \quad \bar{v}_e + \bar{g}'_x = \bar{v}_u \quad \dots (10), \quad \text{ここで } K_0 = (n/\sqrt{\sin \theta_0})^2, P_0 = 3/5 \quad \dots (11)$$

$$\text{故に } \frac{dx}{dt} = \frac{\bar{g}'^{1-P_0}}{K_0 P_0} \quad \dots (12) \quad \text{ここで } \bar{g}' = \left\{ \frac{1}{K_0 P_0} \int v du dt \right\}^{1/P_0} \quad \dots (13)$$

ここに h' : 表面流水深, \bar{g}' : 表面流単位幅流量, n : 粗度係数, O(1), O(2) は同様の形式で

$$A = K Q^P \quad \dots (4), \quad A_t + Q_x = \bar{g} \quad \dots (5), \quad R = K A^2, K = \left\{ \gamma / (K_1^{2/3} \sqrt{\sin \theta}) \right\}^{1/P}, P = 3/(2z+3) \quad \dots (16)$$

$$\text{故に } \frac{dx}{dt} = \frac{Q^{1-P}}{K P} \quad \dots (17) \quad \text{ここで } Q = \left(\frac{1}{K P} \int \bar{g} du dt \right)^{1/P} + Q_0 \quad \dots (18)$$

ここで A : 流域断面積, Q : 流量, \bar{g} : 河道への単位幅横流入である。O(3), O(4) を同様に

$$\frac{dx}{dt} = \frac{Q}{A} I \left(\frac{g A}{B} \right)^{1/2} + \frac{1}{g A} \left[\frac{Q}{A} + \left(\frac{g A}{B} \right)^{1/2} \right] dQ = - \left[\bar{v}_e + \frac{g}{g A} \left\{ \frac{Q}{A} + \left(\frac{g A}{B} \right)^{1/2} \right\} \right] dx \quad \dots (19), (20)$$

3. 支川湯子川における解析例；地図から O(1) 流域モデルとして Fig. 4 に示すスケールを仮定する。山腹の幅は O(2), O(3) にも適用する。山腹崩壊工の粒度分布¹⁾、洪水流出の流出率および低水流量の低減曲線のシミュレーションから k は、 $\bar{k} = 10 \text{ mm/hr}$, $k_{\max} = 2.15 \times 10^3 \text{ mm/hr}$ の階級矩形分布に従うとする。 $(\epsilon = 0.2)$ 。 R は簡単のため直線で 0.035 とした。また高野谷の実測から、代表値として O(1): $K_1 = 0.594$, $z = 0.5$, O(2): $K_1 = 0.347$, $z = 0.5$ を用いる。O(3) は山腹崩壊累積分布¹⁾のモード 1.5 m を使用して、支川湯子川における各オーダーの組合せは Fig. 5 に示す通りである。ここに断面間隔は 500 m 、右岸側の数字は支谷面積の流入を、左岸の横線は支川河道に流入する O(1) 流域を表す。各支谷における地図、流域面積および河道長から同様寸法(m) 入図を作成した。上に述べた基礎式を差分化して流入図に従い、昭和47年9月16日降雨の流出計算を行ない各オーダーのハイドログラフを得た。断面13の掃流砂量計算値とともに Fig. 6 に示している。河床の粒度分布は実測値(昭和48年)を用い、計算式は芦田・道上の方法による。流砂量は17時間中に 29.0 m^3 となり、下流域での流量の適合とともに妥当な値ではないかと思われる。河床変動についての議論時に述べる予定である。以上山地小流域の工筋移動解剖例を示したが、支谷河道以下のオーダーの工筋移動の取扱いを今後検討してゆかねばならないと思われる。

なお本研究は自然災害特別研究(代表者: 石原龍次郎名誉教授)「工筋の流送・運搬に伴う自然環境の変化に関する研究」の補助を受けて行われた。

1) 和歌山県砂防利水課「有田川上流域崩壊調査書」

昭32年。

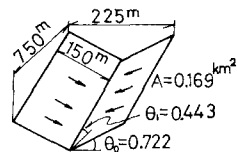


Fig. 4 O(1) 流域モデル

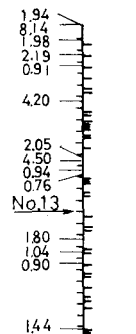


Fig. 5 流入図

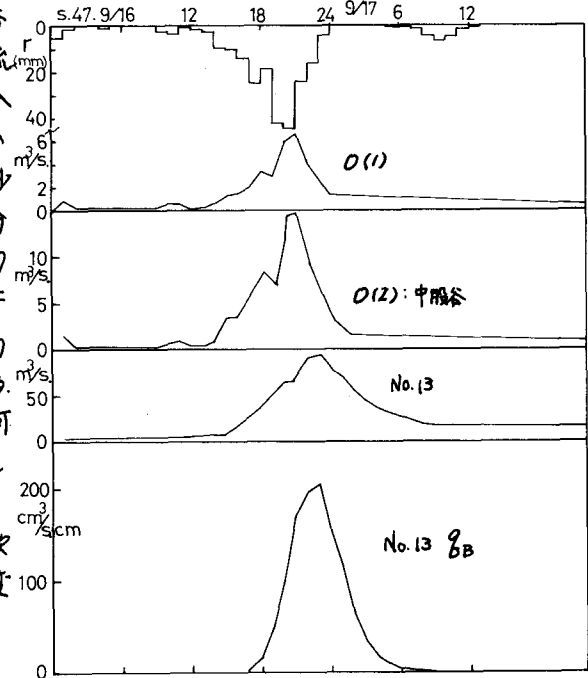


Fig. 6 ハイドログラフ